

Ravnoteža kapljevina-krutina

# Ravnoteža kapljevina-krutina

Draft Tube Crystallizer

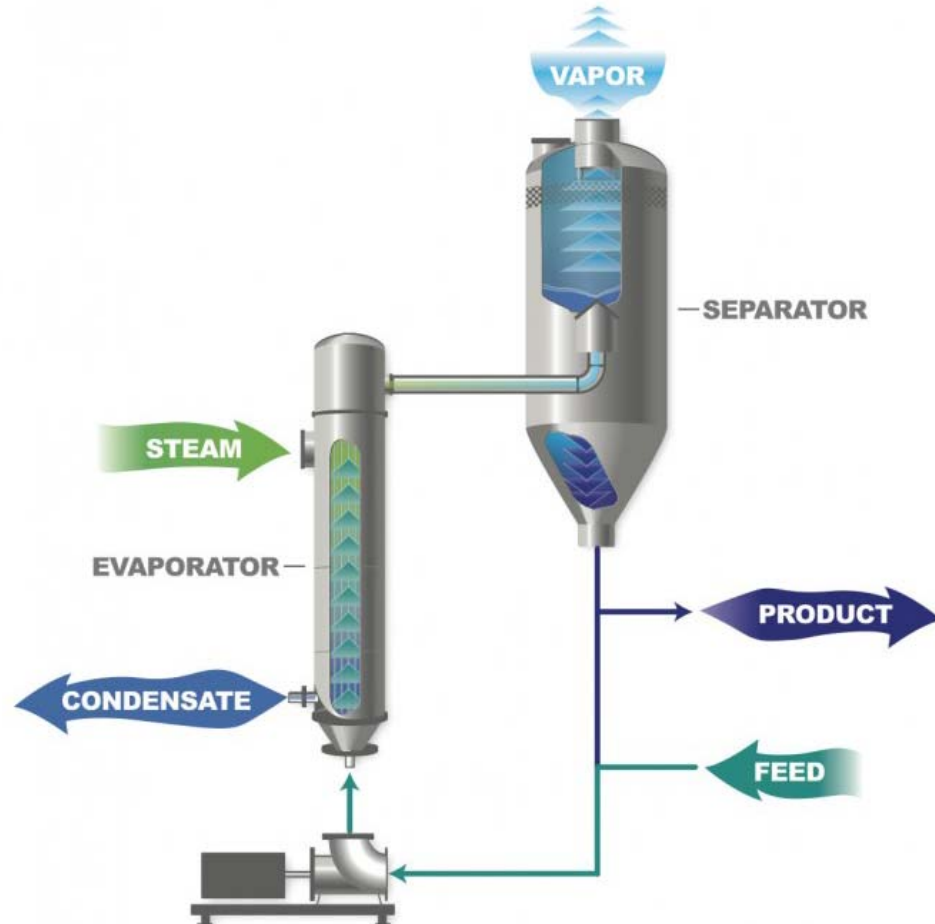
Fazna ravnoteža

Nema kemijskih ili  
elektrokemijskih procesa

Industrijska praksa

Kristalizacija

Metalurški procesi



# Uvjeti fazne ravnoteže

Prvi zakon termodinamike – bilančne jednadžbe

$$\sum_{i=1}^{nk} n_i^F = \sum_{i=1}^{nk} n_i^L + \sum_{i=1}^{nk} n_i^S \quad \text{Ukupna bilanca tvari}$$

$$n^F z_i^F = n^L x_i^L + n^S x_i^S \quad \text{Bilanca po komponentama}$$

$$\sum_{i=1}^{nk} x_i^L = 1 \quad \sum_{i=1}^{nk} x_i^S = 1 \quad \text{Bilanca po fazama}$$

$$H^F = H^S + H^L \quad \text{Bilanca energije za izolirani sustav}$$

# Uvjeti fazne ravnoteže

Drugi zakon termodinamike

$$S = \max . \quad dS = 0 \quad \text{Izolirani sustav}$$

Ekvivalentni uvjeti za dvofazne, višekomponentne sustave

$$T^L = T^S$$

$$p^L = p^S$$

$$\mu_i^L = \mu_i^S$$

# Jednadžba fazne ravnoteže

$$\mu_i^L = \mu_i^S \quad \text{Jednakost kemijskih potencijala}$$

$$(\mu_i^L - \mu_i^S)_T = RT \ln \frac{\hat{f}_i^L}{\hat{f}_i^S} = 0 \quad \text{Preko parcijalnih fugacitivnosti}$$

$$\hat{f}_i^L = \hat{f}_i^S \quad \text{Jednakost parcijalnih fugacitivnosti}$$

$$a_i = \frac{\hat{f}_i^L}{\hat{f}_i^{L\circ}} \quad a_i = \frac{\hat{f}_i^S}{\hat{f}_i^{S\circ}} \quad \begin{matrix} \text{Uvođenje aktivnosti} \\ \text{Uvođenje koeficijenta aktivnosti} \end{matrix} \quad a_i = \gamma_i x_i$$

$$x_i^L \gamma_i^L f_i^{L\circ} = x_i^S \gamma_i^S f_i^{S\circ} \quad \text{Ravnotežna jednadžba}$$

# Jednadžba fazne ravnoteže

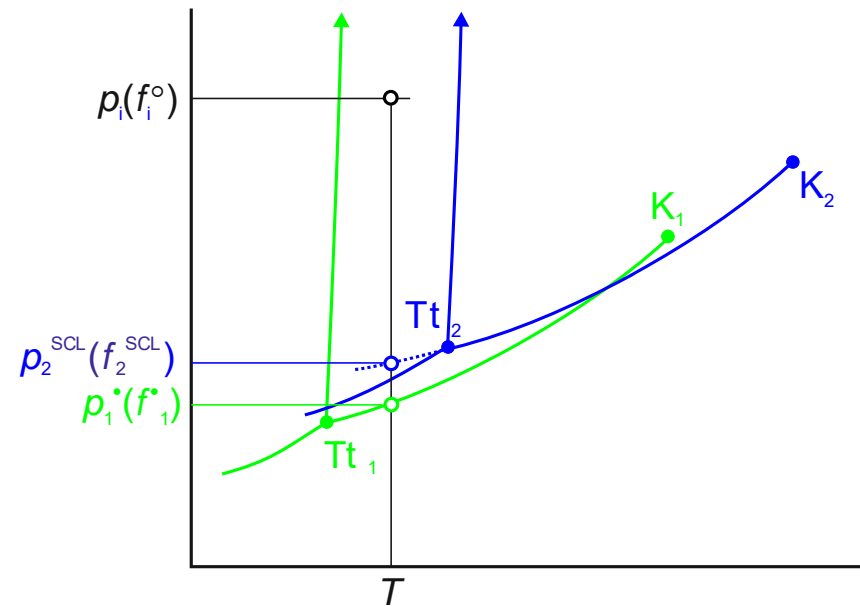
NA STRANI KAPLJEVITE FAZE

Za komponentu koja pri temperaturi i tlaku sustava može postojati kao kapljevina (otapalo)

$$f_i^{\text{L}\circ} = f_i^\bullet \exp \left[ \int_{p_i}^p \frac{v_i^{\text{L}}}{RT} dp \right]$$

$$f_i^\bullet = \varphi_i^\bullet p_i^\bullet \quad \varphi_i^\bullet = 1$$

Standardna fugacitivnost (čiste) kapljevine



Potrebito:

Ravnotežni tlak para  
Molarni volumen kapljevine  
Jednadžba stanja ?!

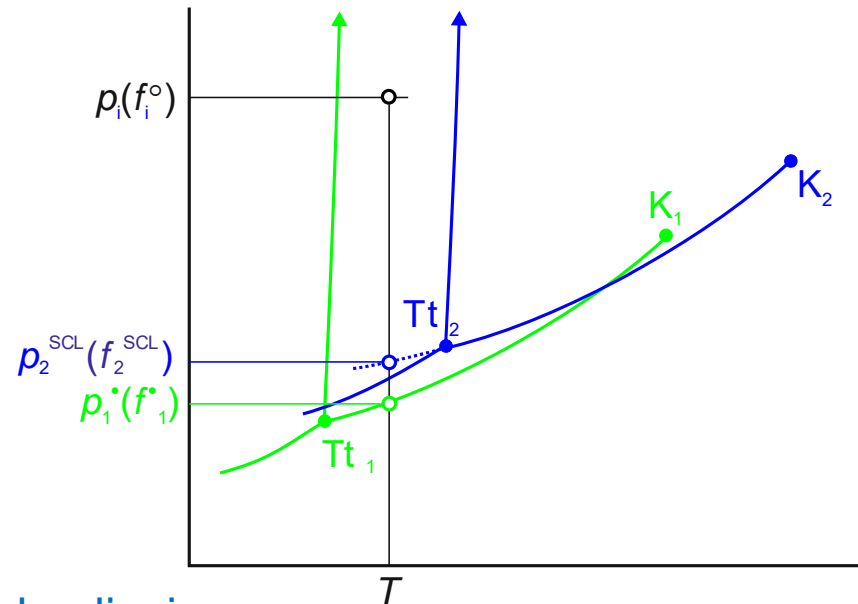
# Jednadžba fazne ravnoteže

NA STRANI KAPLJEVITE FAZE

Za komponentu koja pri temperaturi i tlaku sustava ne može postojati kao kapljevina (otopljena krutina)

$$f_i^{\text{SCL}} = f_i^\bullet \exp \left[ \int_{p_i^\bullet}^p \frac{v_i^L}{RT} dp \right]$$

$$f_i^\bullet = \varphi_i^\bullet p_i^\bullet \quad \varphi_i^\bullet = 1$$



Standardna fugacitivnost (čiste) pothlađene kapljevine  
(sub-cooled, SCL)

Potrebno:

Hipotetski ravnotežni tlak para

Hipotetski molarni volumen kapljevine

Jednadžba stanja ?!

# Jednadžba fazne ravnoteže

NA STRANI ČVRSTE FAZE

Za komponentu koja pri temperaturi i tlaku sustava postoji kao krutina  
(neotopljeni kristali)

$$f_i^{\text{S}\bullet} = f_i^\bullet \exp \left[ \int_{p_i^\bullet}^p \frac{v_i^{\text{S}}}{RT} dp \right]$$

$$f_i^\bullet = \varphi_i^\bullet p_i^{\text{S}\bullet} \quad \varphi_i^\bullet = 1$$

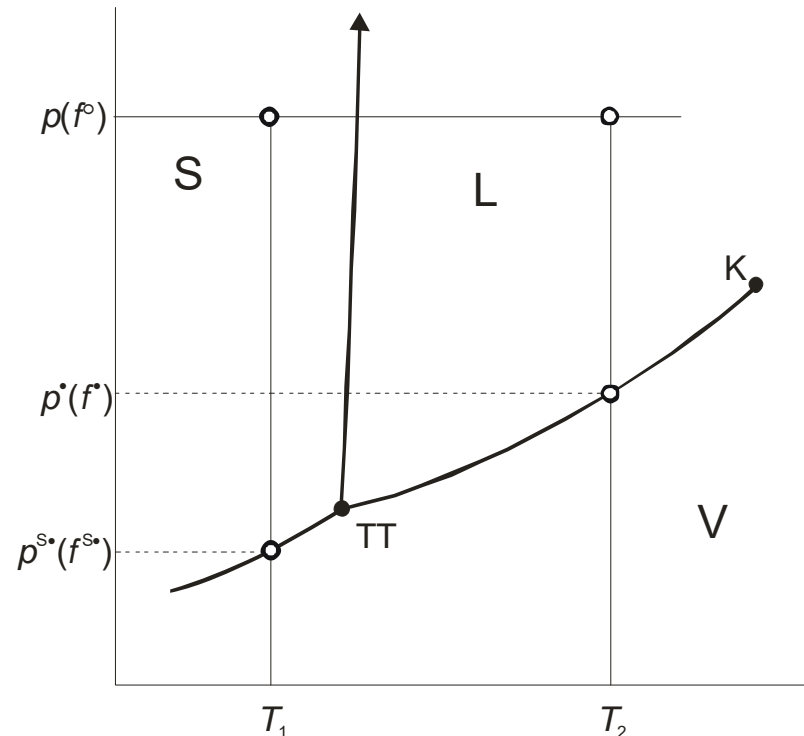
Standardna fugacitivnost (čiste) krutine

Potrebno:

Ravnotežni tlak para sublimacije ?

Molarni volumen krutine

Jednadžba stanja ?!



<https://www.youtube.com/watch?v=jX9pskbKSw0>

<https://www.youtube.com/watch?v=A2qBnlxWhZQ>

<https://answers.yahoo.com/question/index?qid=20090322154450AAFeKHg>

<https://www.youtube.com/watch?v=TEIzO6tpSfQ>

# Jednadžba fazne ravnoteže

NA STRANI ČVRSTE FAZE

Za komponentu koja pri temperaturi i tlaku sustava postoji kao krutina  
(neotopljeni kristali)

Standardna fugacitivnost  
(čiste) krutine

Potrebno:

Temperatura trojne točke

Tlak trojne točke

Fugacitivnost trojne točke = ?

Molarni volumen krutine

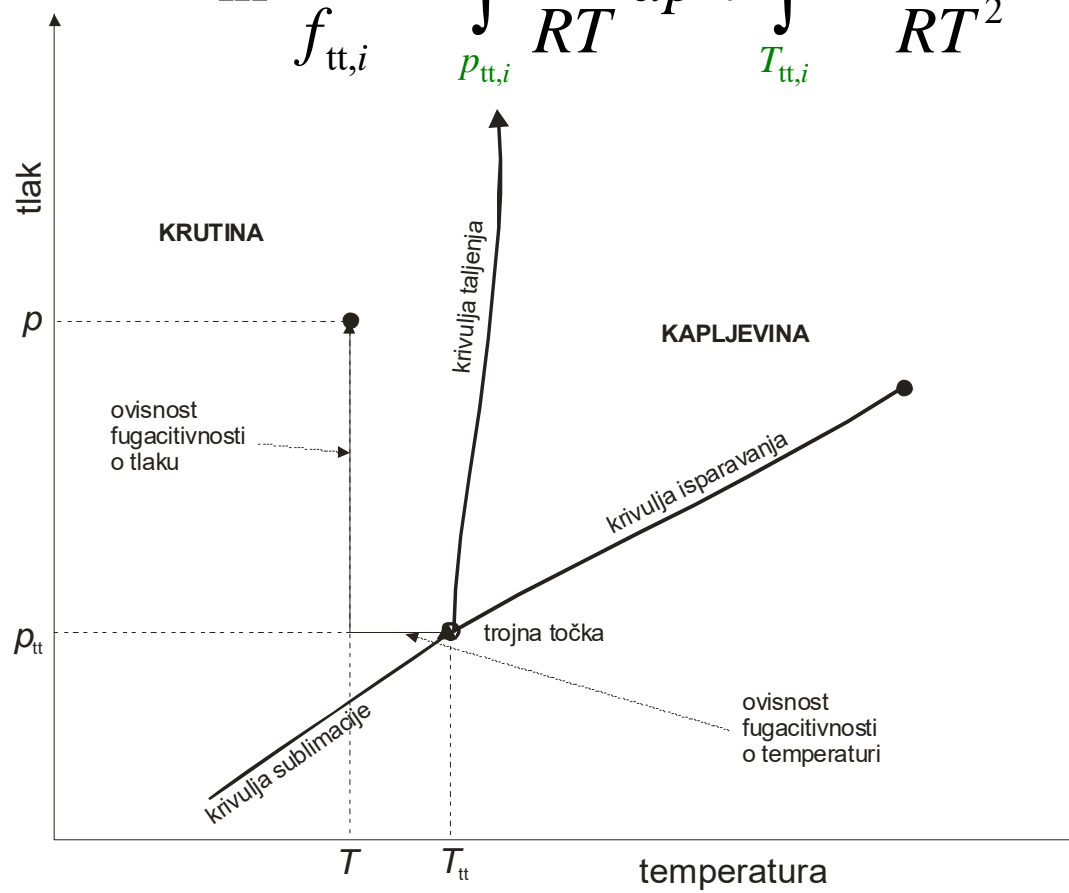
Entalpija sublimacije

$$h_i^{\text{V,id}} - h_i^{\text{S}} \approx \Delta h_i^{\text{subl}}$$

$$\Delta H_i^{\text{subl}} \approx \Delta H_i^{\text{talj}} + \Delta H_i^{\text{isp}}$$

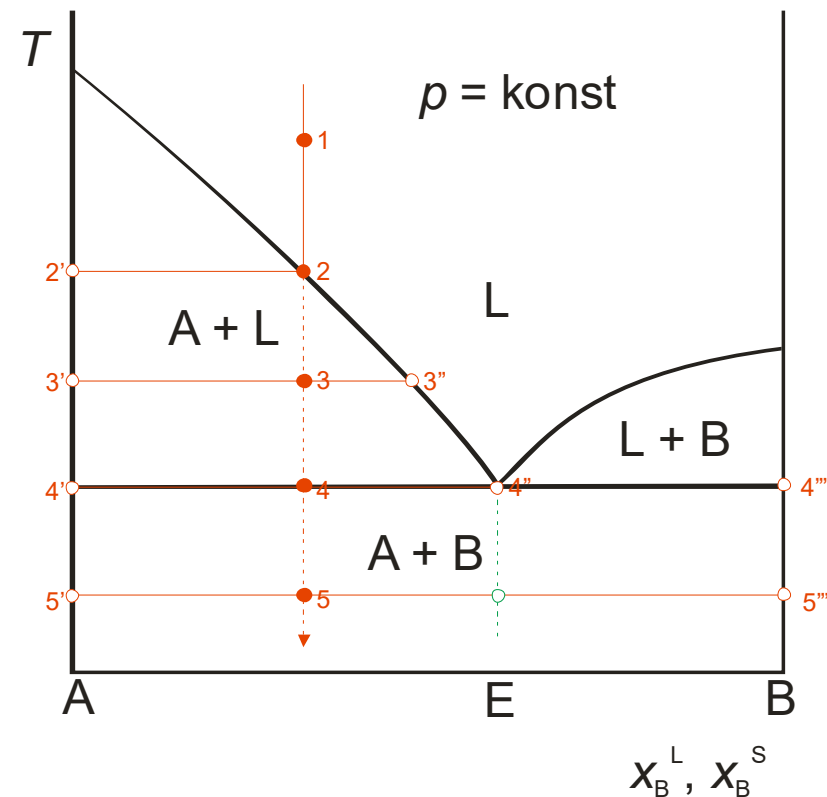
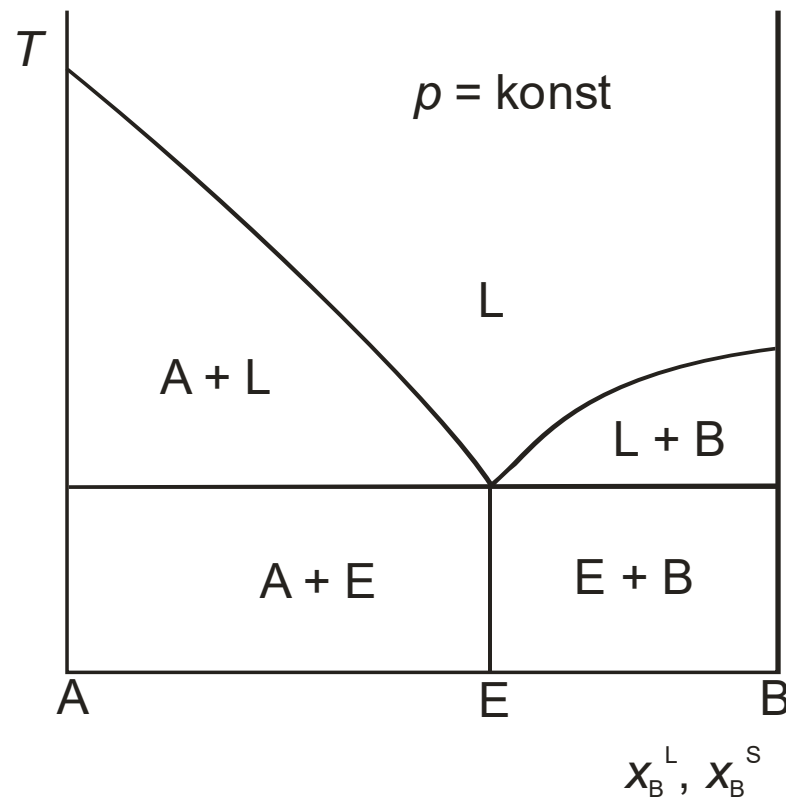
$$f_{\text{tt},i} \approx p_{\text{tt},i}$$

$$\ln \frac{f_i^{\text{S}\circ}}{f_{\text{tt},i}} = \int_{p_{\text{tt},i}}^p \frac{v_i^{\text{S}}}{RT} dp + \int_{T_{\text{tt},i}}^T \frac{h_i^{\text{V,id}} - h_i^{\text{S}}}{RT^2} dT$$



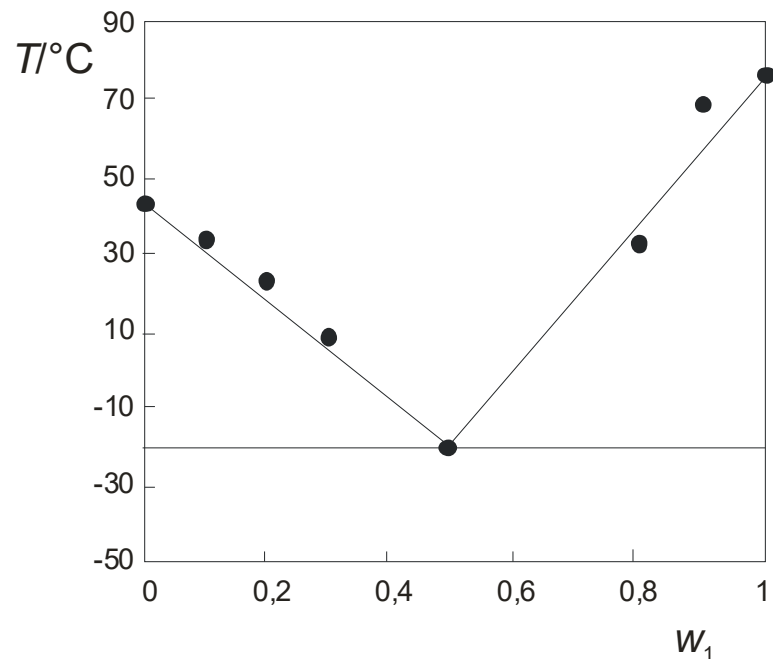
# Fazni dijagrami

Potpuna nemješljivost



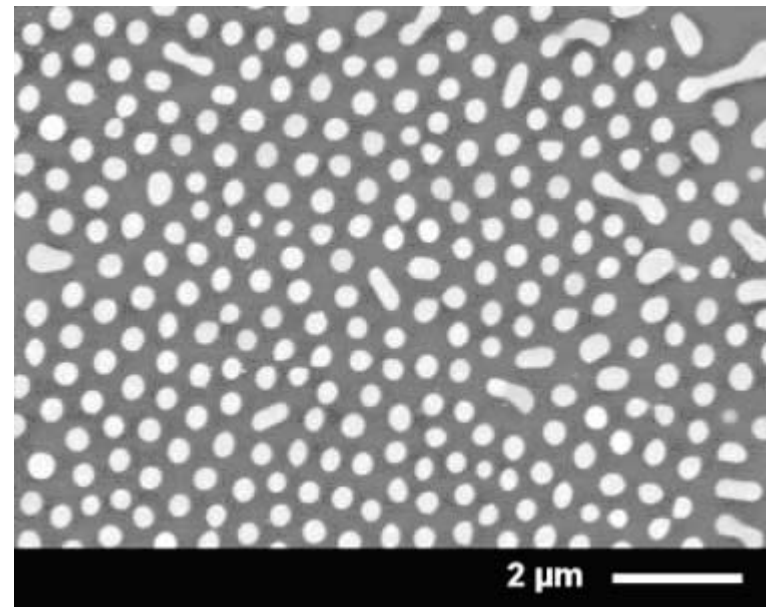
# Fazni dijagrami

Potpuna nemješljivost



ibuprofen(1) – metil-nikotinat(2), 10325 Pa, US Patent 6841161

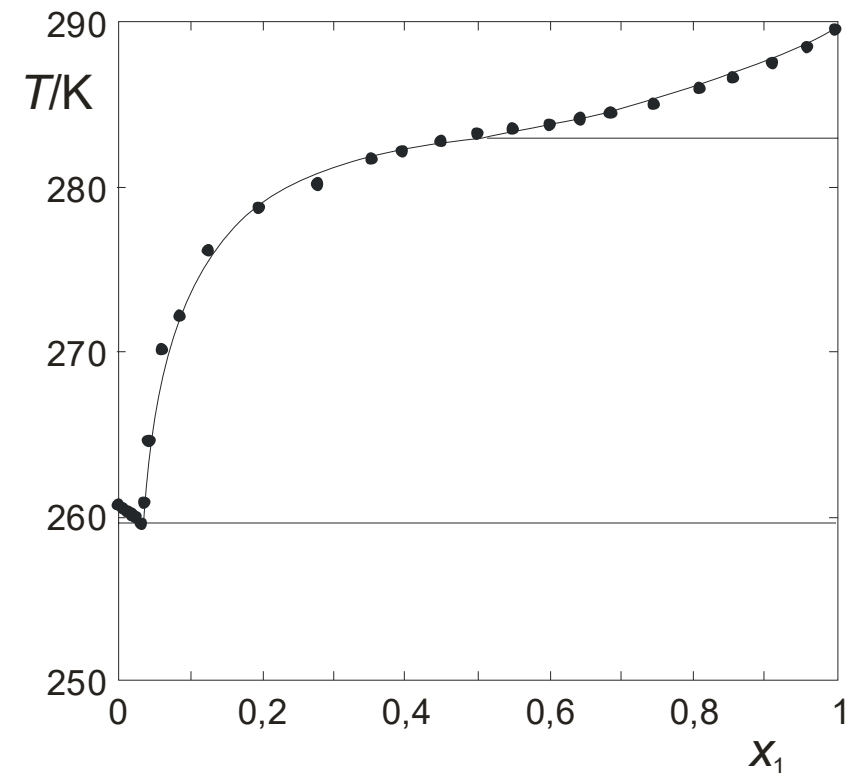
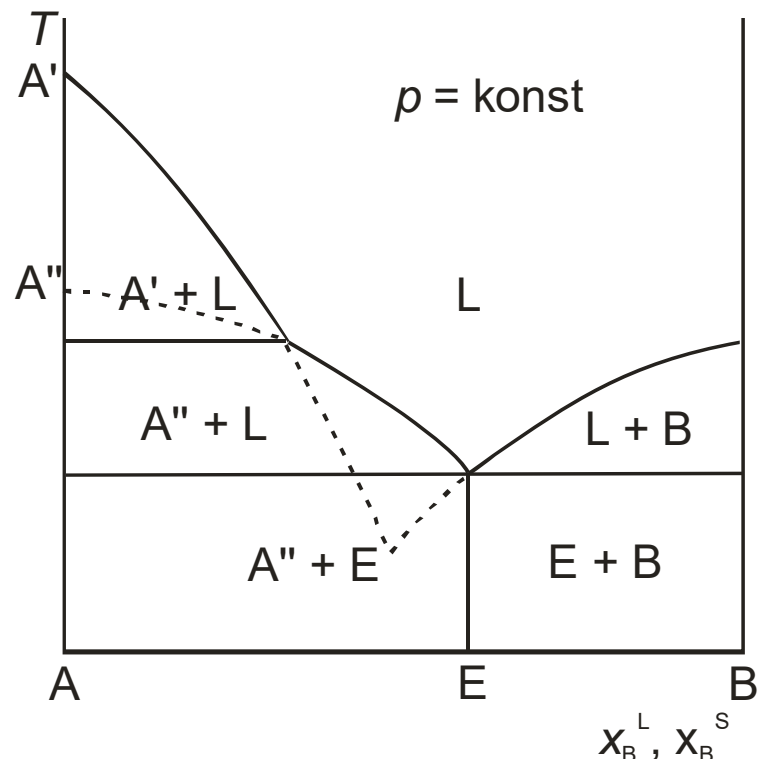
Eutektik



Nb (81.8%) – Si (18.2%) legura  
Nb svijetla područja  
Nb<sub>3</sub>Si tamna područja

# Fazni dijagrami

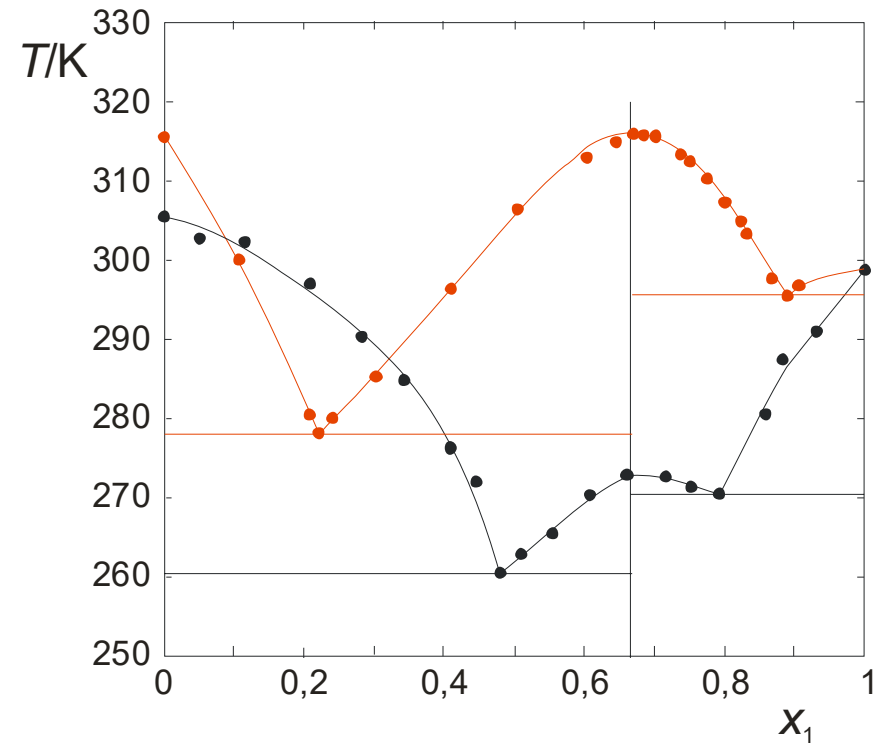
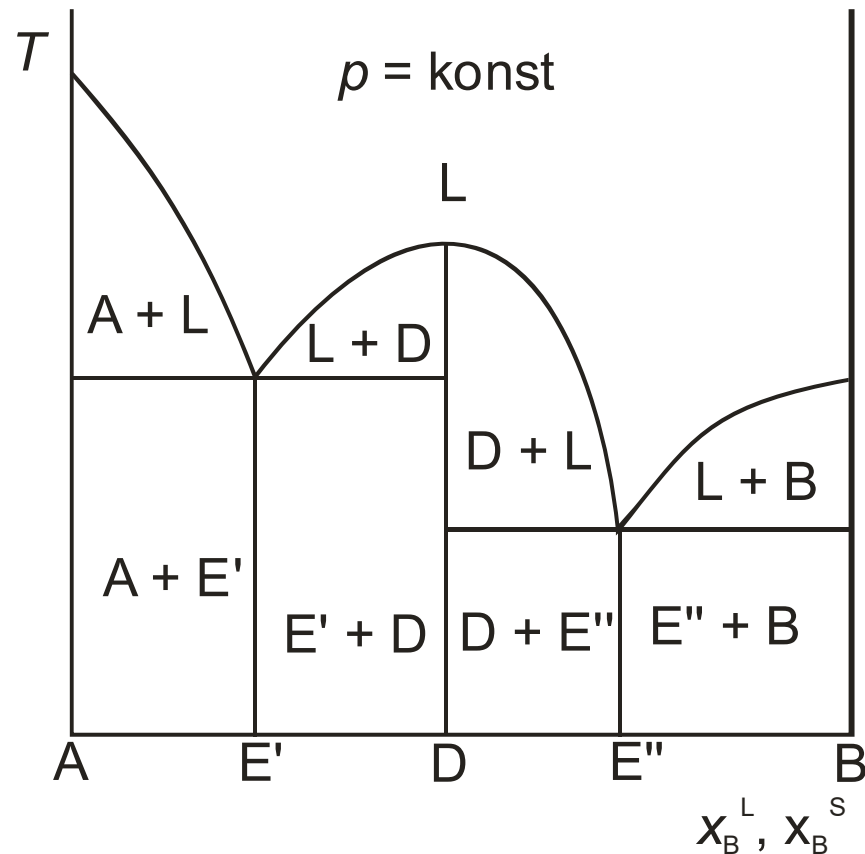
Potpuna nemješljivost, dvije kristalne modifikacije



undekan-1-ol(1) i benzonitril(2), U. Domańska i M. Marciniak

# Fazni dijagrami

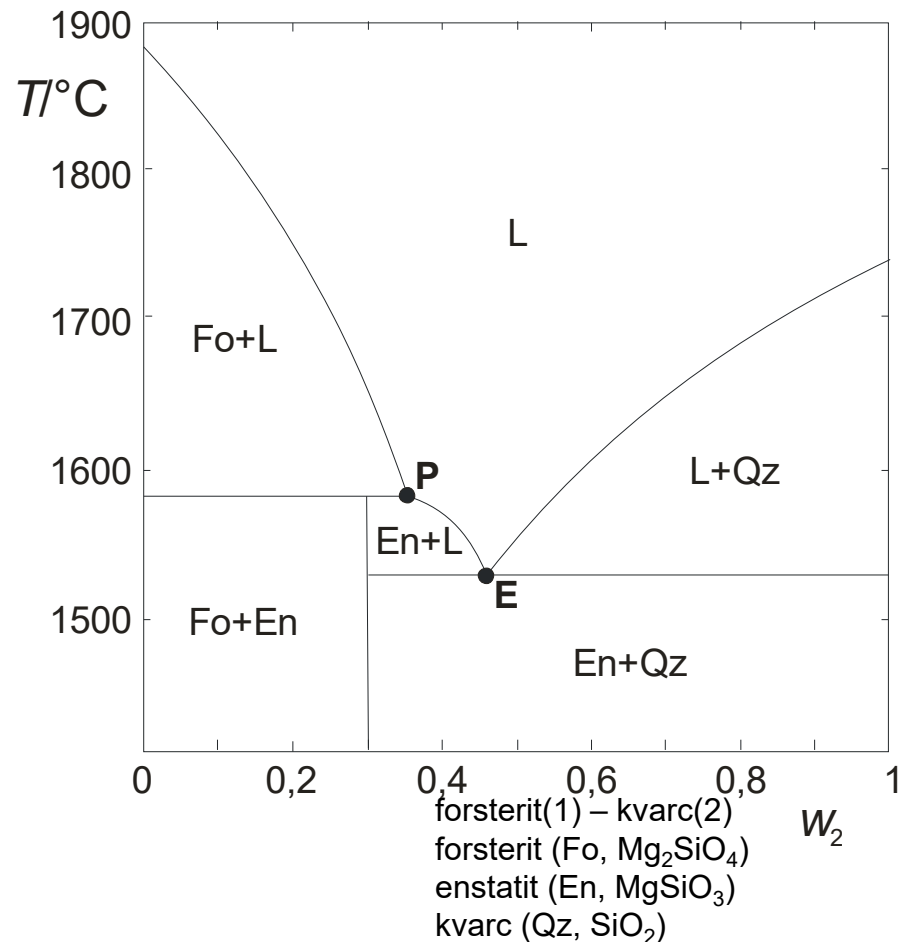
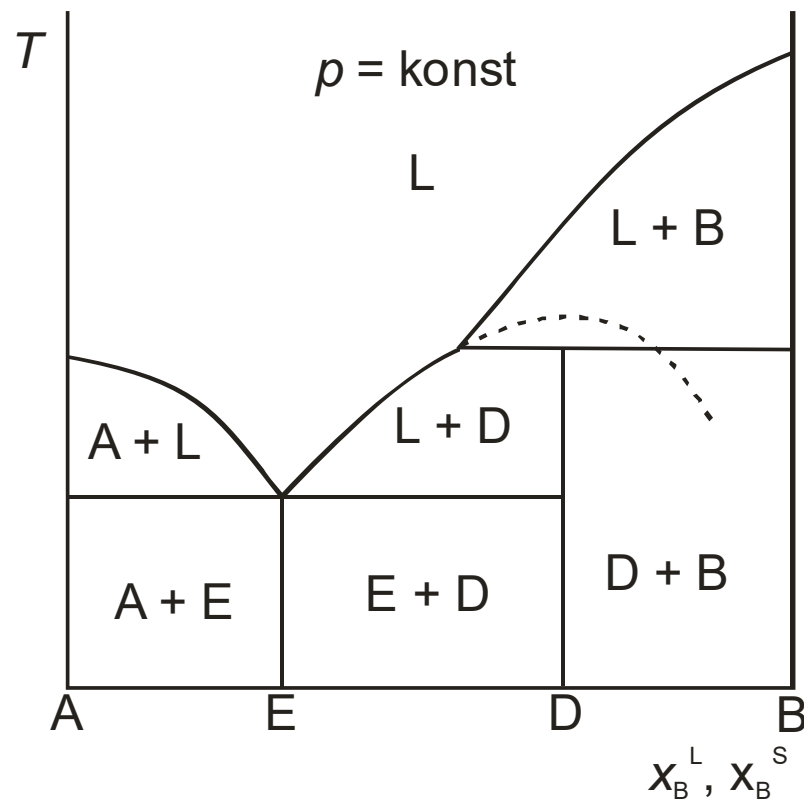
Potpuna nemješljivost, međumolekulski spoj, dva eutektika



terc-butanol(1) – m-klorofenol(2)  
terc-butanol(1) – p-klorofenol(2)  
T.-M. Her i suradnici

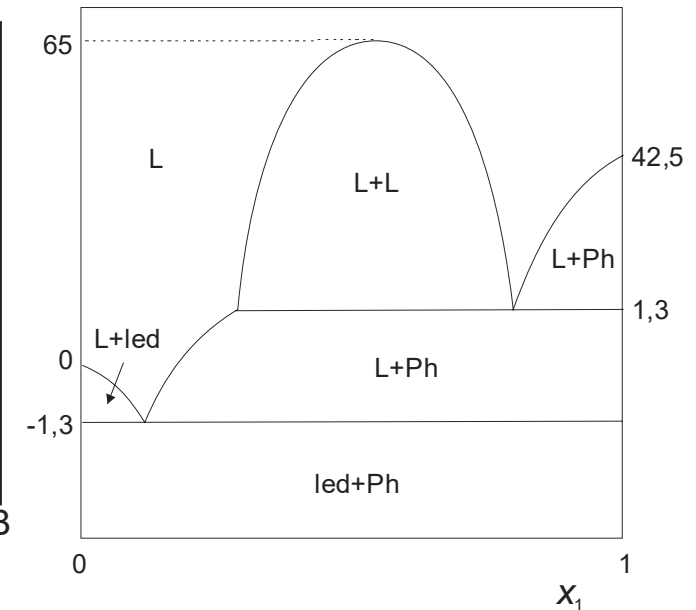
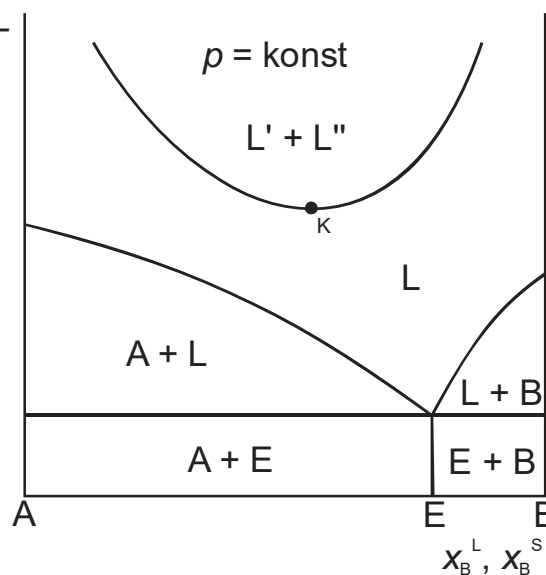
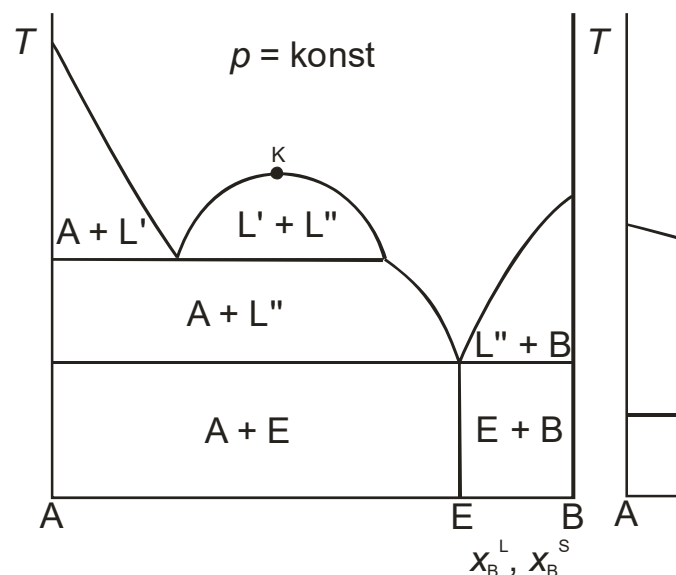
# Fazni dijagrami

Potpuna nemješljivost, međumolekulski spoj, eutektik, peritektik, peritektička transformacija (reakcija), nekongruentno taljenje



# Fazni dijagrami

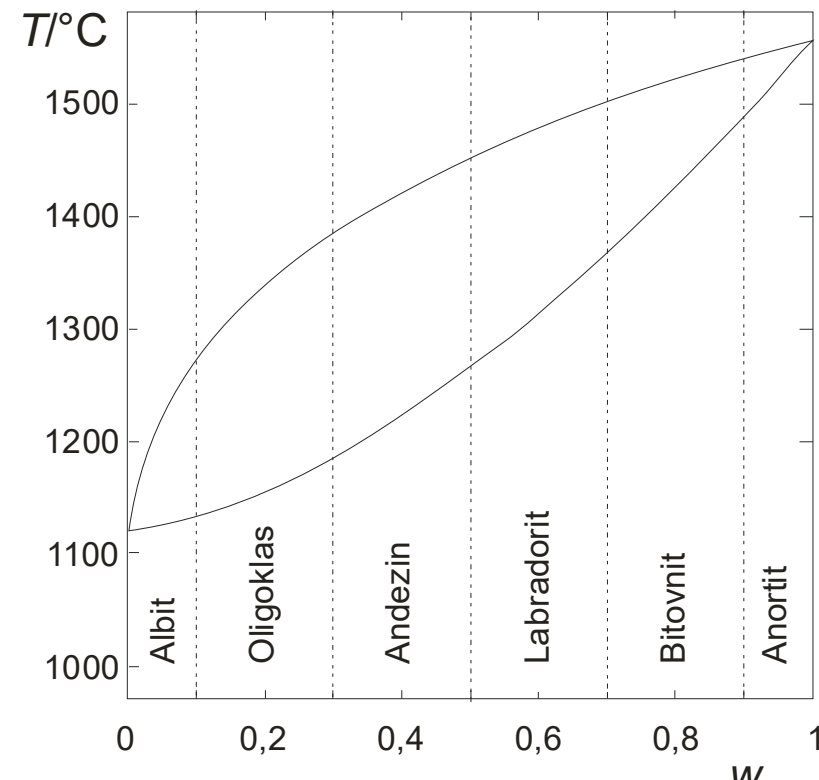
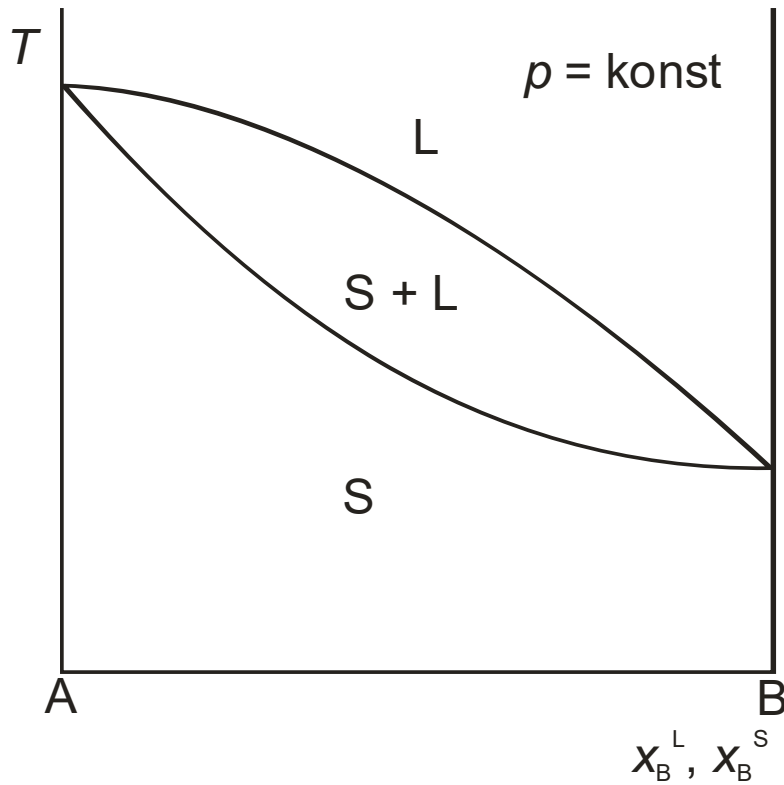
Djelimična mješljivost u kapljevitoj fazi



fenol(1) – voda(2)

# Fazni dijagrami

Potpuna mješljivost u kapljivoj i krutoj fazi

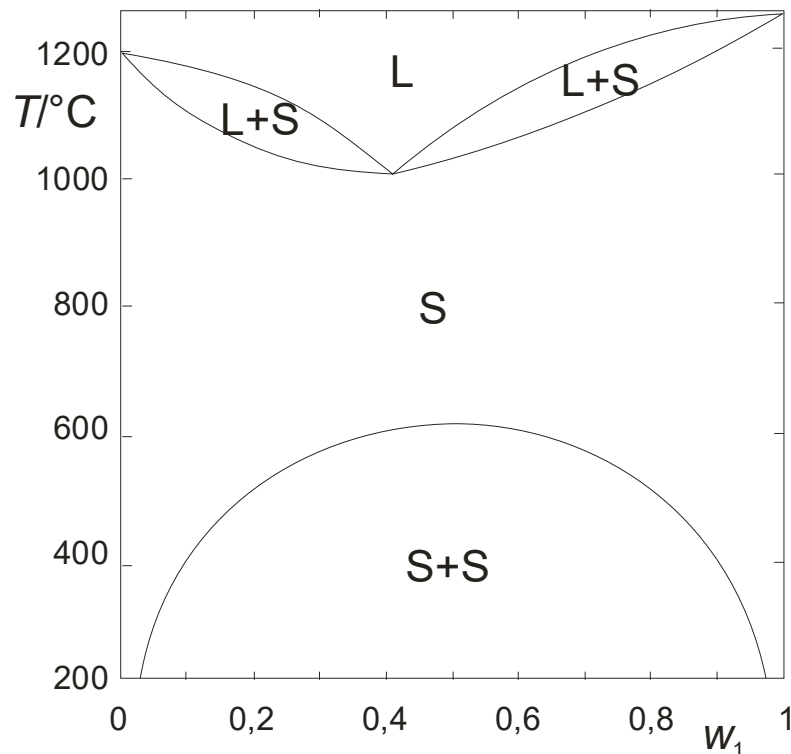


anortit( $\text{CaAl}_2\text{Si}_2\text{O}_8$ , 1) – albit( $\text{NaAlSi}_3\text{O}_8$ , 2)

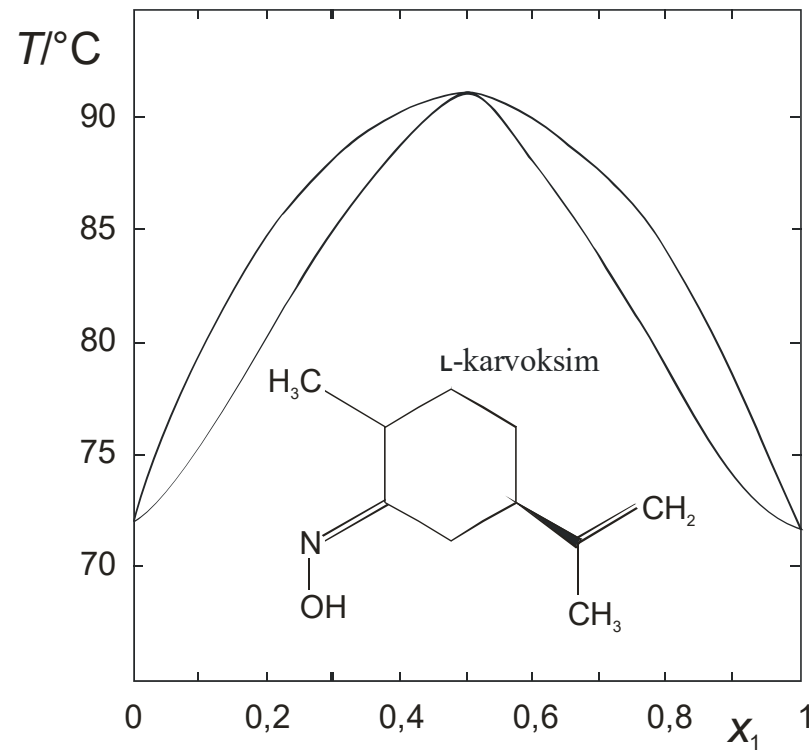
# Fazni dijagrami

Potpuna mješljivost u kapljivoj i krutoj fazi

Minimum ili maksimum tališta ("azeotropija")



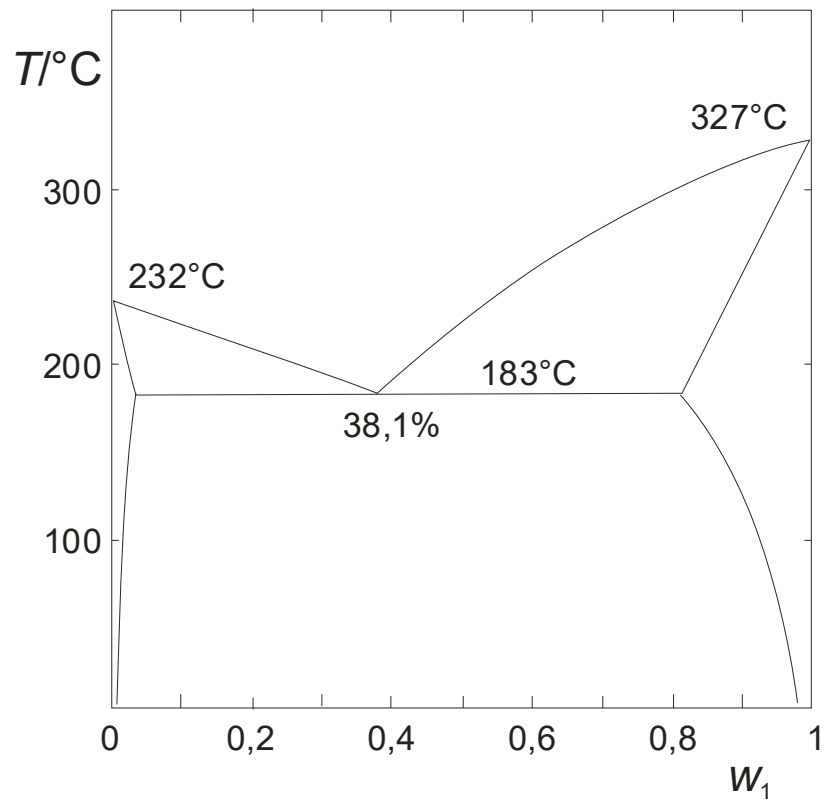
ortoklas( $\text{KAlSi}_3\text{O}_8$ , 1) – albit( $\text{NaAlSi}_3\text{O}_8$ , 2)



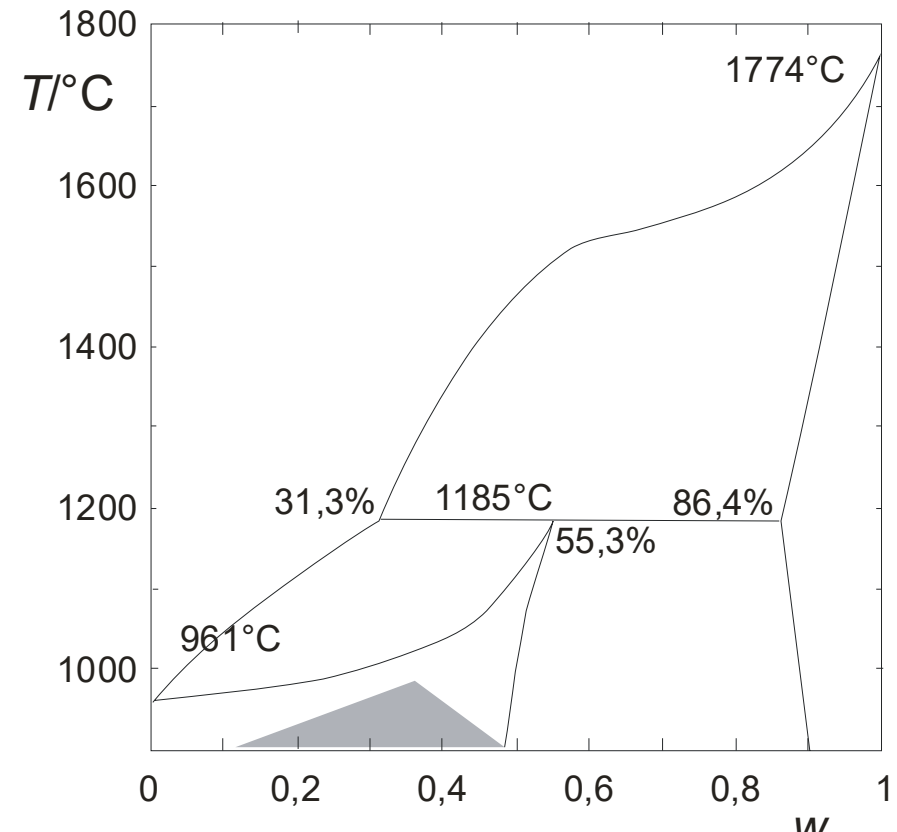
L-karvoksim(1) – D-karvoksim(1)

# Fazni dijagrami

Djelimična mješljivost u krutoj fazi



olovo(1) – kositar(2)



platina(1) – srebro(2)

# Topljivost krutina

Jednadžba ravnoteže       $\hat{f}_i^L = \hat{f}_i^S$

$$\hat{f}_2^L = \hat{f}_2^S$$

Otopljena tvar

Standardno stanje čiste pothlađene kapljevine       $\hat{f}_2^L = x_2^L \gamma_2^L f_2^{\text{SCL}} \circ$        $\hat{f}_2^S = f_2^S$       Krutina je čista tvar

$$x_2^L = \frac{1}{\gamma_2^L} \cdot \frac{f_2^S}{f_2^{\text{SCL}} \circ}$$

Jednadžba topljivosti

$$f_2^{\text{SCL}} \circ = \varphi_2^{\text{SCL}\bullet} p_2^{\text{SCL}\bullet} \exp \left[ \int_{p_2^{\text{SCL}}}^p \frac{v_2^L}{RT} dp \right]$$

Kapljevina

$$f_2^S = \varphi_2^{S\bullet} p_2^{S\bullet} \exp \left[ \int_{p_2^S}^p \frac{v_2^S}{RT} dp \right]$$

Krutina

# Topljivost krutina

$$f_2^{\text{SCL}\bullet} = \varphi_2^{\text{SCL}\bullet} p_2^{\text{SCL}\bullet} \exp\left[\frac{v_2^{\text{L}}(p - p_2^{\text{SCL}\bullet})}{RT}\right] \quad f_2^{\text{S}} = \varphi_2^{\text{S}\bullet} p_2^{\text{S}\bullet} \exp\left[\frac{v_2^{\text{S}}(p - p_2^{\text{S}\bullet})}{RT}\right]$$

$$PF_2^{\text{SCL}} \rightarrow 1$$

Zanemarivanje  
Poyntingova  
faktora

$$PF_2^{\text{S}} \rightarrow 1$$

$$\varphi_2^{\text{S}\bullet} \rightarrow 1$$

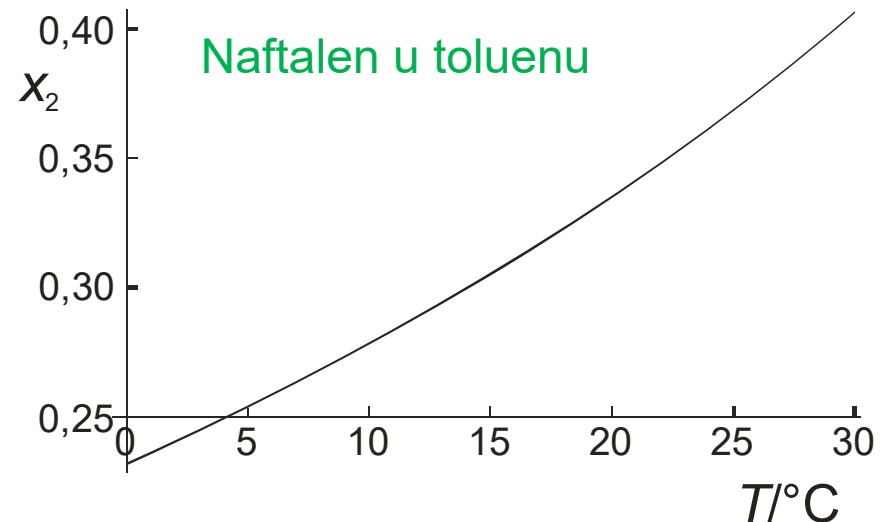
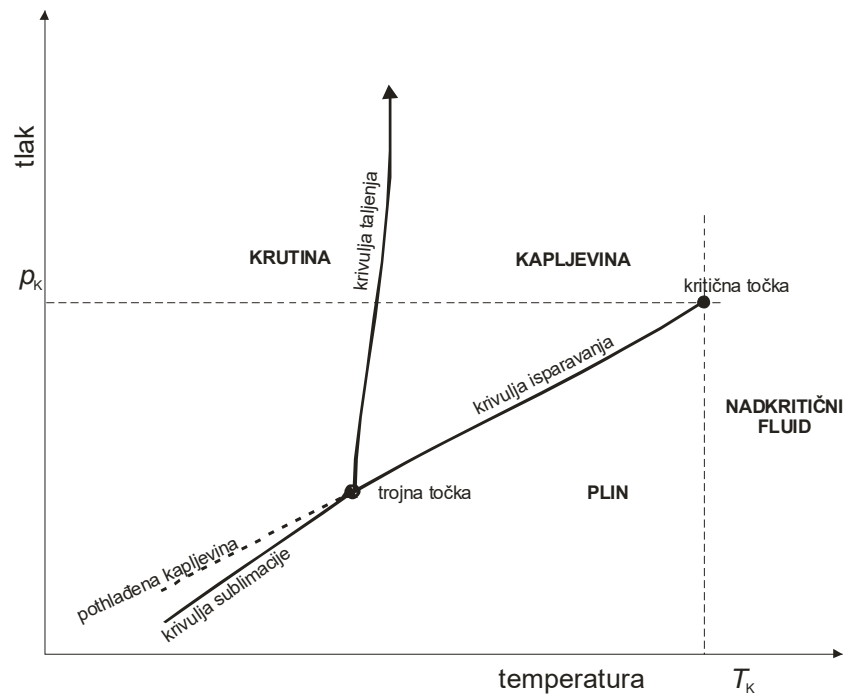
Idealna  
Parna  
faza

$$\varphi_2^{\text{SCL}\bullet} \rightarrow 1$$

$$x_2^{\text{L}} = \frac{1}{\gamma_2^{\text{L}}} \cdot \frac{p_2^{\text{S}\bullet}}{p_2^{\text{SCL}\bullet}}$$

Jednadžba topljivosti

# Topljivost krutina



$$\log(p_2^{\text{SCL}\bullet}/\text{bar}) = 4,13555 - \frac{1733,710}{T + 201,859 - 273,15}$$

$$\log(p_2^{\text{s}\bullet}/\text{bar}) = 8,583 - \frac{3733,9}{T}$$

# Topljivost krutina

$$x_2^L = \frac{1}{\gamma_2^L} \cdot \frac{f_2^S}{f_2^{\text{SCL}\circ}} \quad \text{Jednadžba topljivosti}$$

$$d \ln f = \frac{v}{RT} dp - \frac{h - h^\circ}{RT^2} dT$$

$$d \ln f_2^S = \frac{v_2^S}{RT} dp - \frac{h_2^S - h_2^\circ}{RT^2} dT \quad \text{Krutina}$$

$$d \ln f_2^{\text{SCL}\circ} = \frac{v_2^{\text{SCL}\circ}}{RT} dp - \frac{h_2^{\text{SCL}\circ} - h_2^\circ}{RT^2} dT \quad \text{Pothlađena kapljevina}$$

$$d \ln \frac{f_2^S}{f_2^{\text{SCL}\circ}} = \frac{h_2^{\text{SCL}\circ} - h_2^S}{RT^2} dT - \frac{v_2^{\text{SCL}\circ} - v_2^S}{RT} dp$$

Molarna  
entalpija  
taljenja

Molarni  
volumen  
taljenja

# Topljivost krutina

$$h_2^{\text{SCL}\circ} - h_2^{\text{S}} \approx \Delta h_{2,\text{tt}}^{\text{talj}} + \Delta c_{p2,\text{tt}}^{\text{talj}} (T - T_{\text{tt}})$$

$$d \ln \frac{f_2^{\text{S}}}{f_2^{\text{SCL}\circ}} = \frac{\Delta h_{2,\text{tt}}^{\text{talj}} + \Delta c_{p2,\text{tt}}^{\text{talj}} (T - T_{\text{tt}})}{RT^2} dT - \frac{\Delta v_2^{\text{talj}}}{RT} dp$$

Nakon integriranja:

$$\ln \frac{f_2^{\text{S}}}{f_2^{\text{SCL}\circ}} = \frac{\Delta h_{2,\text{tt}}^{\text{talj}}}{R} \left( \frac{1}{T_{\text{tt}}} - \frac{1}{T} \right) - \frac{\Delta c_{p2,\text{tt}}^{\text{talj}}}{R} \left( \ln \frac{T_{\text{tt}}}{T} - \frac{T_{\text{tt}}}{T} + 1 \right) - \frac{\Delta v_2^{\text{talj}}}{RT} (p - p_{\text{tt}})$$

Potrebno poznavati:

- model koeficijenta aktivnosti
- trojnu točku (tlak i temperaturu)
- entalpiju taljenja ( $\Delta$ ) u trojnoj točki
- toplinski kapacitet taljenja ( $\Delta$ ) u trojnoj točki
- volumen taljenja ( $\Delta$ ) u trojnoj točki

$$\begin{aligned}
 x_2^{\text{L}} &= \frac{1}{\gamma_2^{\text{L}}} \cdot \frac{\Delta h_{2,\text{tt}}^{\text{talj}}}{R} \left( \frac{1}{T_{\text{tt}}} - \frac{1}{T} \right) \\
 &\quad - \frac{\Delta c_{p2,\text{tt}}^{\text{talj}}}{R} \left( \ln \frac{T_{\text{tt}}}{T} - \frac{T_{\text{tt}}}{T} + 1 \right) \\
 &\quad - \frac{\Delta v_2^{\text{talj}}}{RT} (p - p_{\text{tt}})
 \end{aligned}$$

$\frac{\Delta v_2^{\text{talj}}}{RT} (p - p_{\text{tt}}) \approx 0$   
 $\Delta c_{p2,\text{tt}}^{\text{talj}} \approx 0$

# Topljivost krutina

Potrebno poznavati:

- model koeficijenta aktivnosti
- trojnu točku (tlak i temperaturu)
- entalpiju taljenja ( $\Delta$ ) u trojnoj točki

$$x_2 = \frac{1}{\gamma_2} \exp \left[ \frac{\Delta h_{2,tt}^{\text{talj}}}{R} \left( \frac{1}{T_{tt}} - \frac{1}{T} \right) \right]$$

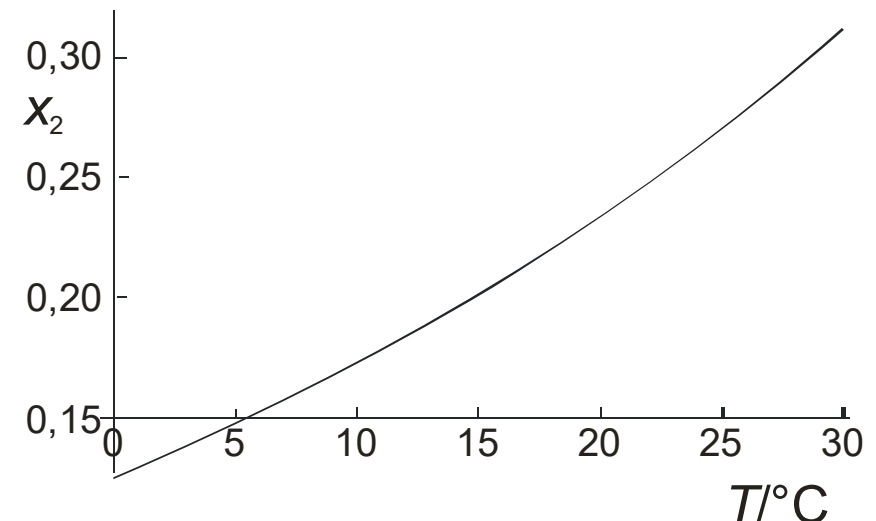
Potrebno poznavati:

- talište pri atmosferskom tlaku
- entalpiju taljenja ( $\Delta$ ) pri atm. tlaku

$$x_2 = \exp \left[ \frac{\Delta h_2^{\text{talj}}}{R} \left( \frac{1}{T^{\text{talj}}} - \frac{1}{T} \right) \right]$$

Schröderova jednadžba (1893)  
Za idealne otopine

Naftalen u toluenu  
Model Scatchard-Hildebrand



$$x_2 = \exp \left[ \frac{\Delta h_{2,tt}^{\text{talj}}}{R} \left( \frac{1}{T_{tt}} - \frac{1}{T} \right) - \frac{v_2^L}{RT} (\delta_1 - \delta_2)^2 \left( 1 + \frac{v_2^L}{v_1^L} \cdot \frac{x_2}{1-x_2} \right)^{-2} \right]$$

# Ravnoteža taljenja

$$x_i^L \gamma_i^L f_i^{L\circ} = x_i^S \gamma_i^S f_i^{S\circ}$$

Ravnotežna jednadžba  
za obje komponente

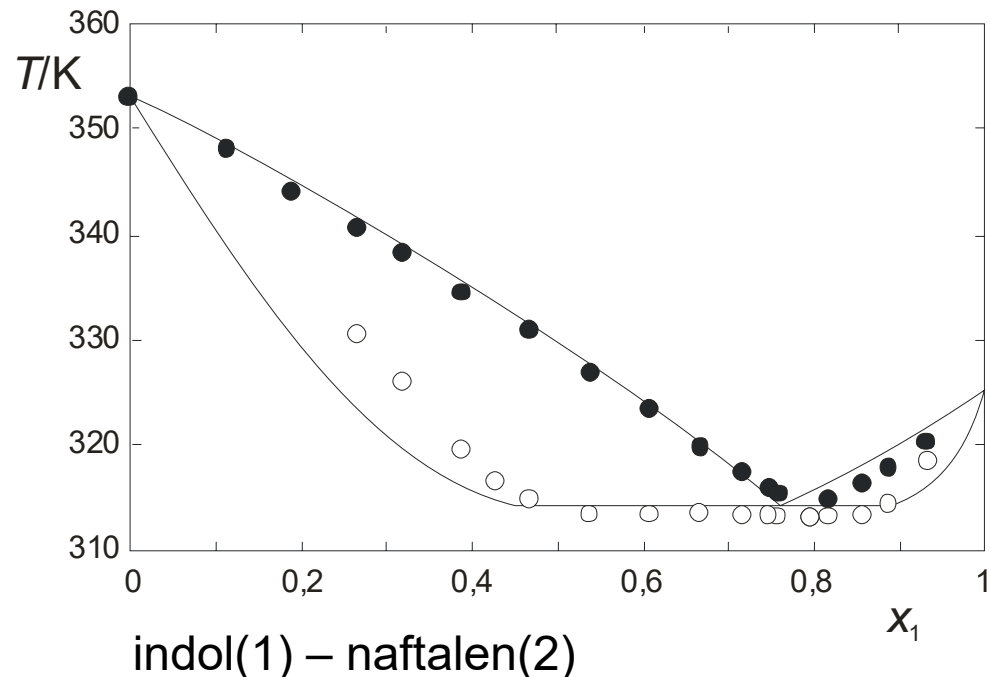
$$\ln \frac{x_i^L \gamma_i^L}{x_i^S \gamma_i^S} = \ln \frac{f_i^{S\circ}}{f_i^{\text{SCL}\circ}}$$

$$\ln \frac{f_i^{S\circ}}{f_i^{\text{SCL}\circ}} = \frac{\Delta h_{i,\text{tt}}^{\text{talj}}}{R} \left( \frac{1}{T_{i,\text{tt}}} - \frac{1}{T} \right) - \frac{\Delta c_{p,i,\text{tt}}^{\text{talj}}}{R} \left( \ln \frac{T_{i,\text{tt}}}{T} - \frac{T_{i,\text{tt}}}{T} + 1 \right) - \frac{\Delta v_i^{\text{talj}}}{RT} (p - p_{i,\text{tt}})$$

$$\ln \frac{\gamma_i^L x_i^L}{\gamma_i^S x_i^S} = \frac{\Delta h_i^{\text{talj}}}{R} \left( \frac{1}{T_i^{\text{talj}}} - \frac{1}{T} \right)$$

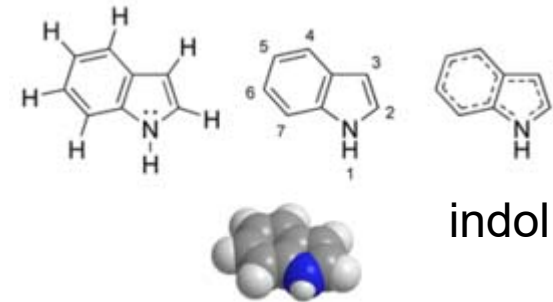
Jednadžba slična Schröderovoj  
Vrijedi za neidealne otopine

# Ravnoteža taljenja



Landolt-Börnstein, Vol. 6, Aufl., Bd.II/2c, Springer, Berlin, 1964.

Model Margules



$$\ln \frac{\gamma_1^L x_1^L}{\gamma_1^S x_1^S} = \frac{\Delta h_1^{\text{talj}}}{R} \left( \frac{1}{T_1^{\text{talj}}} - \frac{1}{T} \right)$$

$$\ln \frac{\gamma_2^L x_2^L}{\gamma_2^S x_2^S} = \frac{\Delta h_2^{\text{talj}}}{R} \left( \frac{1}{T_2^{\text{talj}}} - \frac{1}{T} \right)$$

$$x_1^L + x_2^L = 1$$

$$x_1^S + x_2^S = 1$$

# Eutektički uvjeti

$$\ln \frac{\gamma_1^L x_1^L}{\gamma_1^S x_1^S} = \frac{\Delta h_1^{\text{talj}}}{R} \left( \frac{1}{T_1^{\text{talj}}} - \frac{1}{T} \right)$$

$$\ln \frac{\gamma_2^L x_2^L}{\gamma_2^S x_2^S} = \frac{\Delta h_2^{\text{talj}}}{R} \left( \frac{1}{T_2^{\text{talj}}} - \frac{1}{T} \right)$$

$$\ln(\gamma_1^L x_1^L) = \frac{\Delta h_1^{\text{talj}}}{R} \left( \frac{1}{T_1^{\text{talj}}} - \frac{1}{T} \right)$$

$$\ln(\gamma_2^L x_2^L) = \frac{\Delta h_2^{\text{talj}}}{R} \left( \frac{1}{T_2^{\text{talj}}} - \frac{1}{T} \right)$$

$$\ln x_1^L = \frac{\Delta h_1^{\text{talj}}}{R} \left( \frac{1}{T_1^{\text{talj}}} - \frac{1}{T} \right)$$

$$\ln x_2^L = \frac{\Delta h_2^{\text{talj}}}{R} \left( \frac{1}{T_2^{\text{talj}}} - \frac{1}{T} \right)$$

Potpuna nemješljivost u krutini

Idealne otopine

$$x_1^L = \exp \left[ \frac{\Delta h_1^{\text{talj}}}{R} \left( \frac{1}{T_1^{\text{talj}}} - \frac{1}{T} \right) \right]$$

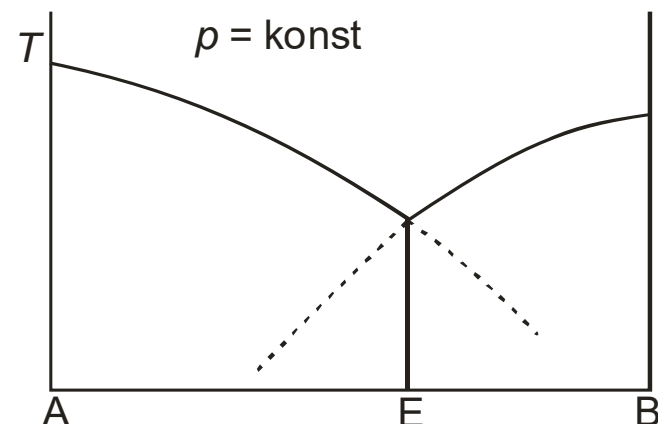
$$x_2^L = \exp \left[ \frac{\Delta h_2^{\text{talj}}}{R} \left( \frac{1}{T_2^{\text{talj}}} - \frac{1}{T} \right) \right]$$

$$T = \left( \frac{1}{T_1^{\text{talj}}} - \frac{R \ln x_1^L}{\Delta h_1^{\text{talj}}} \right)^{-1}$$

$$T = \left( \frac{1}{T_2^{\text{talj}}} - \frac{R \ln x_2^L}{\Delta h_2^{\text{talj}}} \right)^{-1}$$

Schröderove jednadžbe

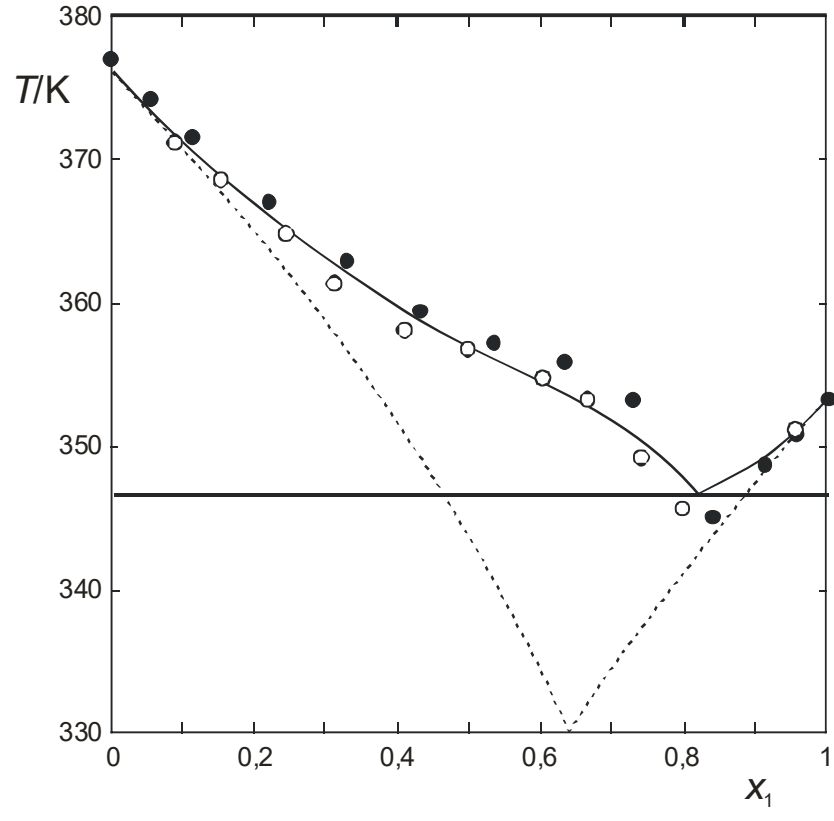
Jednadžbe tališta u dvokomponentnom sustavu



Dijagram s eutektičkom točkom

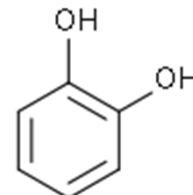
$x_B^L, x_B^S$

# Eutektički uvjeti



naftalen(1) – catehol(2)

Landolt-Börnstein, Vol. 6, Aufl., Bd.II/2c, Springer, Berlin, 1964.



catehol

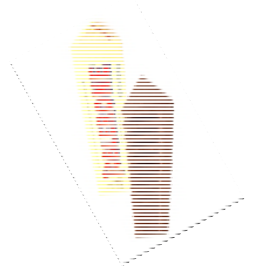
Jednadžbe tališta  
u dvokomponentnom  
sustavu

$$\ln(\gamma_1^L x_1^L) = \frac{\Delta h_1^{\text{talj}}}{R} \left( \frac{1}{T_1^{\text{talj}}} - \frac{1}{T} \right)$$

$$\ln(\gamma_2^L x_2^L) = \frac{\Delta h_2^{\text{talj}}}{R} \left( \frac{1}{T_2^{\text{talj}}} - \frac{1}{T} \right)$$

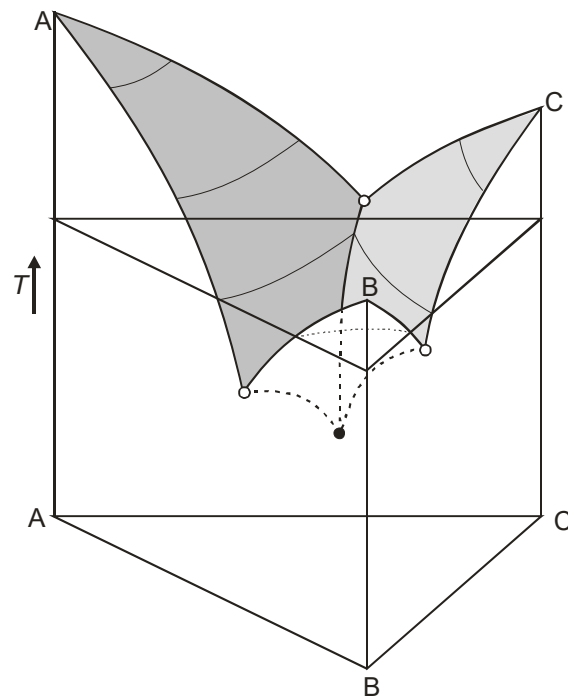
$$x_1^L + x_2^L = 1$$

Model NRTL

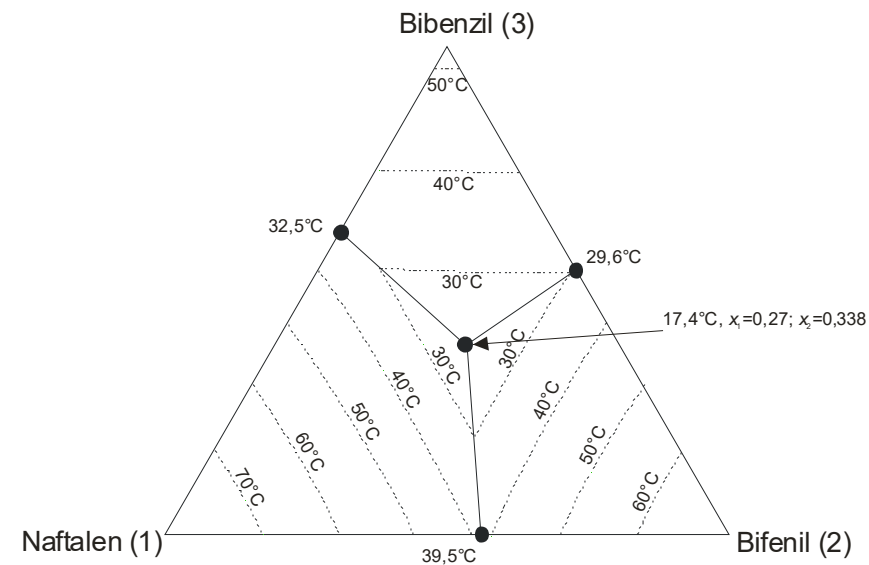
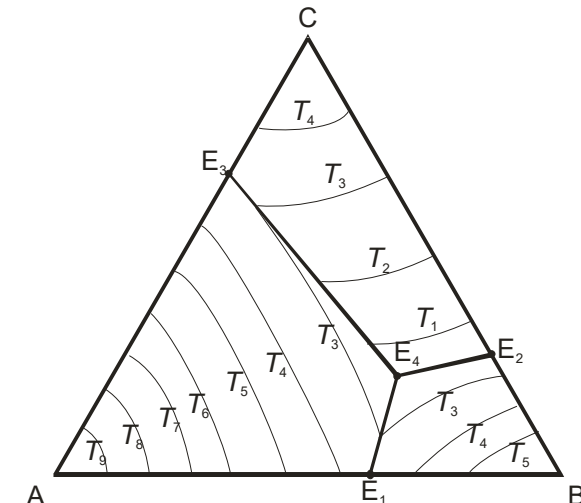


# Eutektički uvjeti

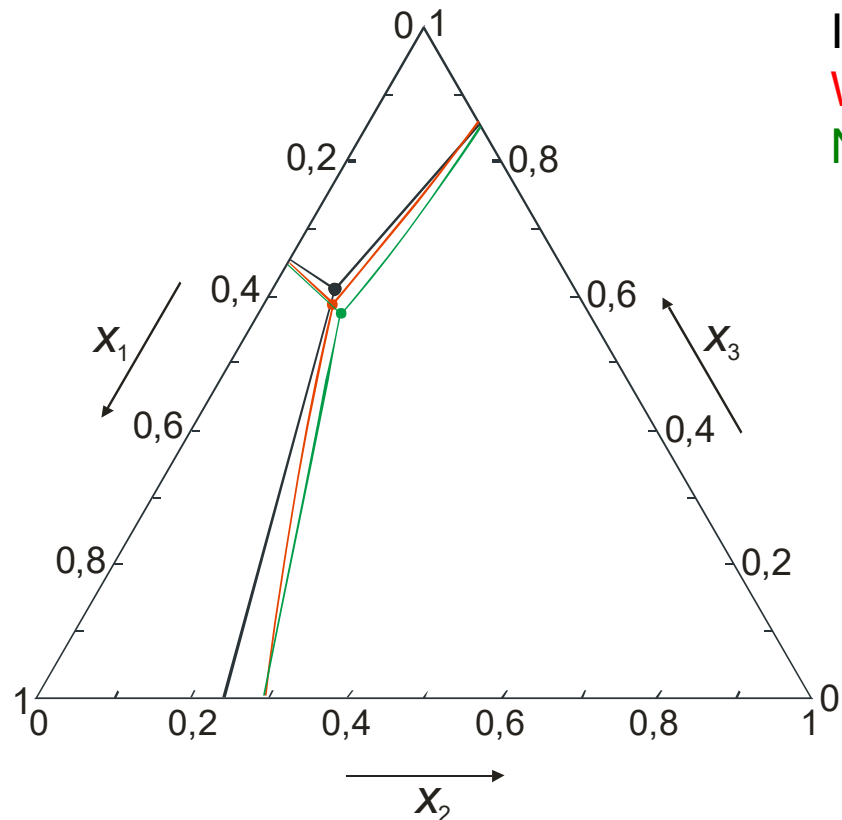
Ternarni eutektik



Eutektički kanal



# Eutektički uvjeti



Idealna otopina

Wilson

NRTL

$$x_1 = \frac{1}{\gamma_1^L(x_1, x_2)} \exp \left[ \frac{\Delta h_1^{\text{talj}}}{R} \left( \frac{1}{T_1^{\text{talj}}} - \frac{1}{T^e} \right) \right]$$

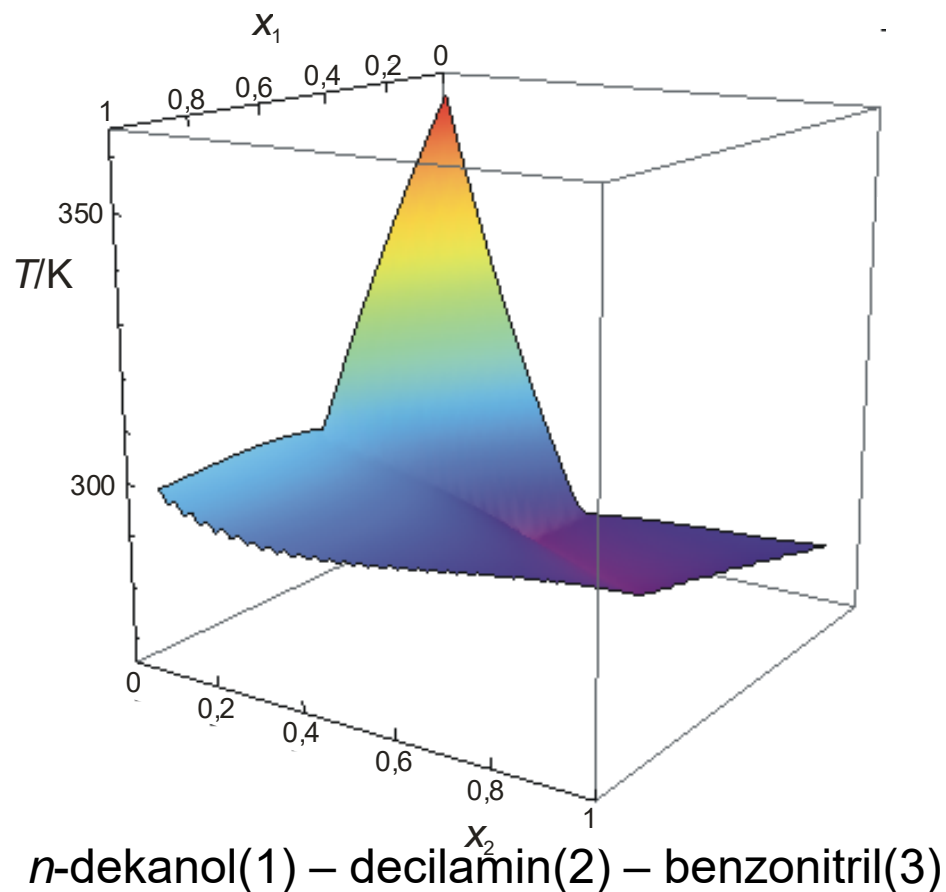
$$x_2 = \frac{1}{\gamma_2^L(x_1, x_2)} \exp \left[ \frac{\Delta h_2^{\text{talj}}}{R} \left( \frac{1}{T_2^{\text{talj}}} - \frac{1}{T^e} \right) \right]$$

$$1 - x_1 - x_2 = \frac{1}{\gamma_3^L(x_1, x_2)} \exp \left[ \frac{\Delta h_3^{\text{talj}}}{R} \left( \frac{1}{T_3^{\text{talj}}} - \frac{1}{T^e} \right) \right]$$

*p*-metoksifenol(1) – catehol(2) – *p*-krezol(3)

Ho-mu Lin, Yu-Hsing Chou, Fu-Li Wu, Ming-Jer Lee

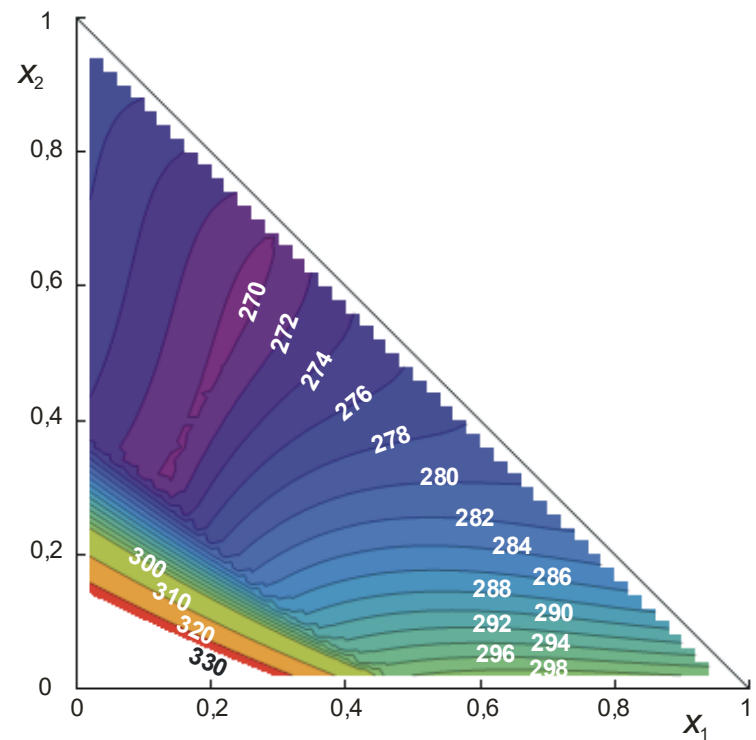
# Eutektički uvjeti



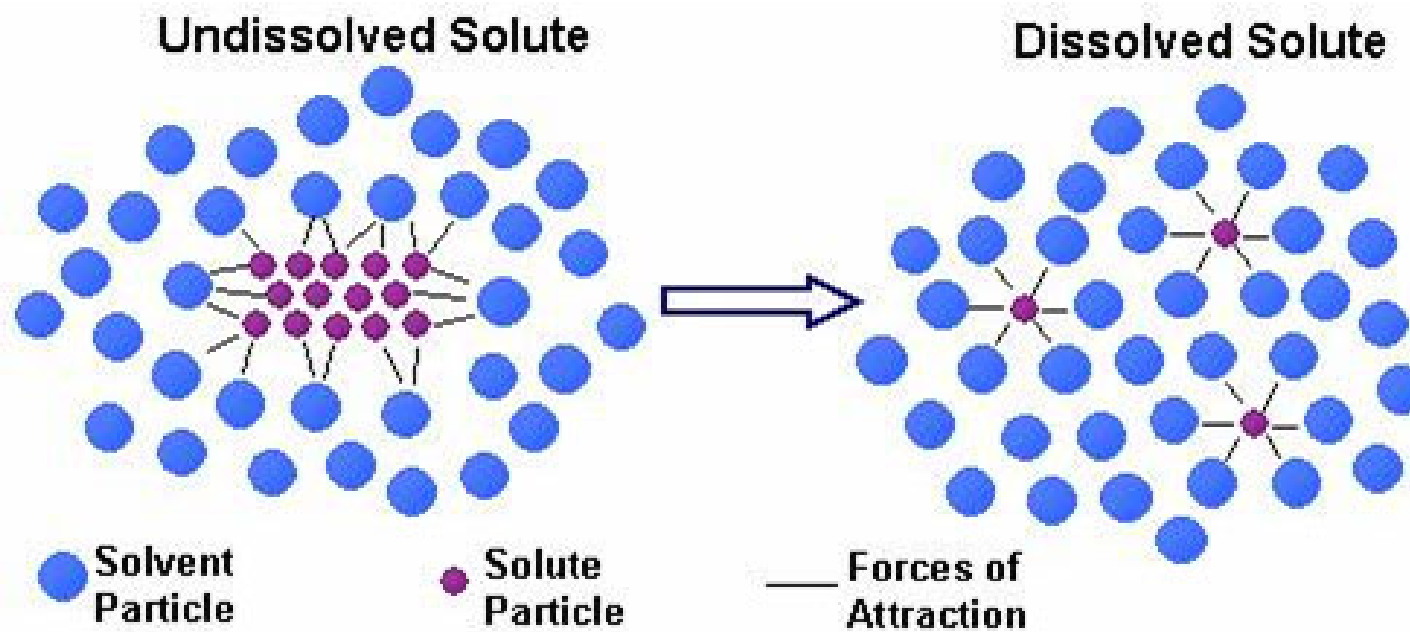
U. Domańska i M. Marciak

$$x_i = \frac{1}{\gamma_i^L} \exp \left[ \frac{\Delta h_i^{\text{talj}}}{R} \left( \frac{1}{T_i^{\text{talj}}} - \frac{1}{T} \right) - \frac{\Delta c_{pi}^{\text{talj}}}{R} \left( \ln \frac{T}{T_i^{\text{talj}}} + \frac{T_i^{\text{talj}}}{T} - 1 \right) \right]$$

$$T = \max(T_i)$$

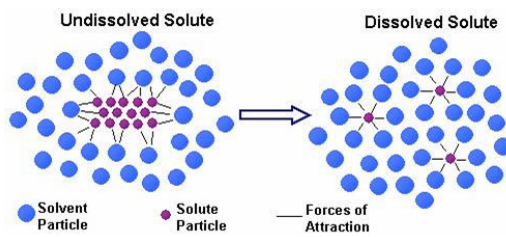
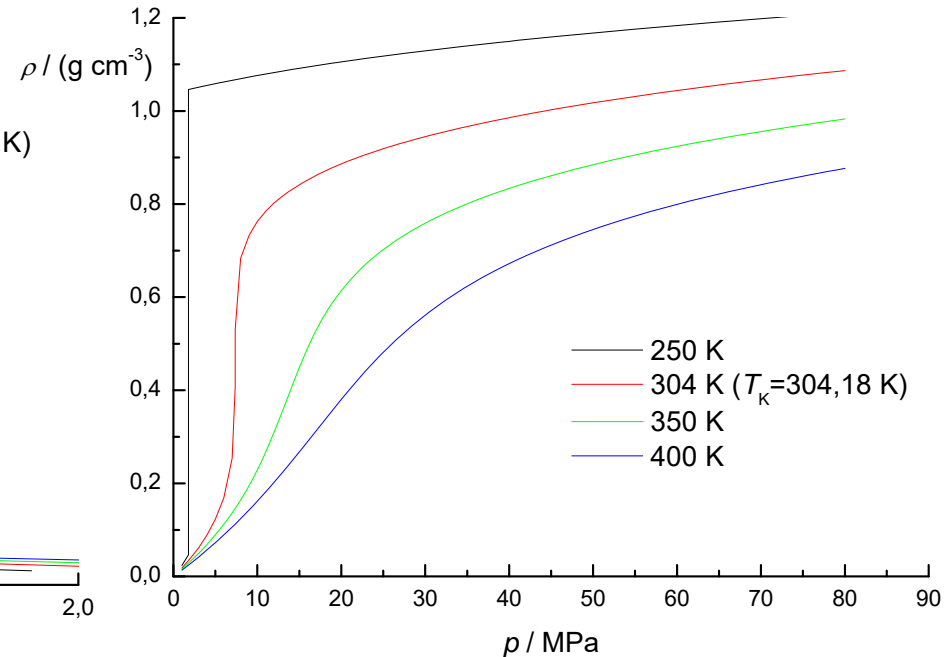
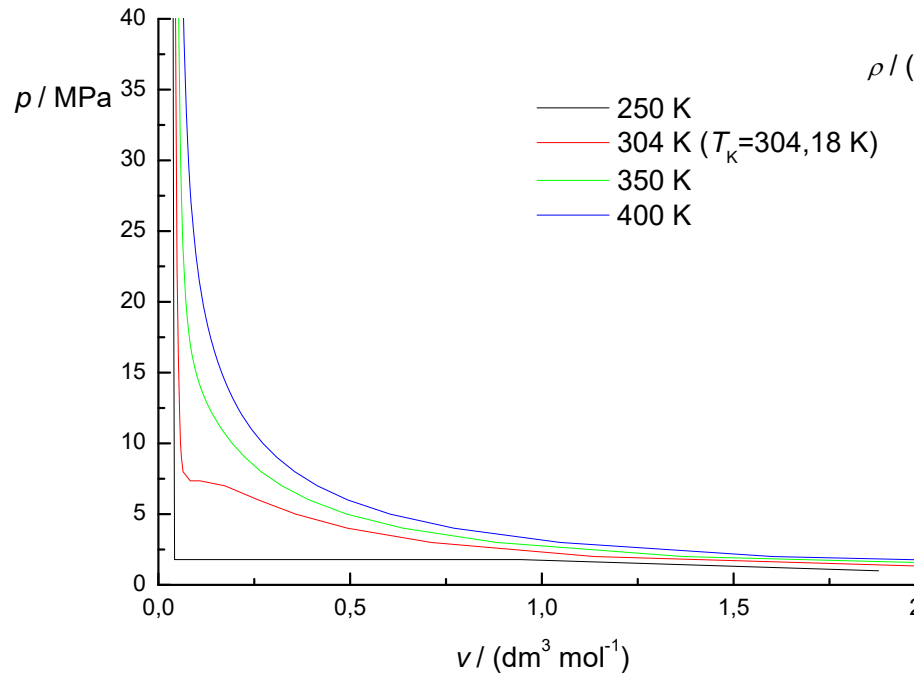


# Ravnoteža plin-krutina



# Ravnoteža plin-krutina

Nadkritični fluidi kao otapala



Velika gustoća – velika moć otapanja  
Nema granice faza – bolja kinetika nego u kapljevinama  
Niska temperatura – podobno za termolabilne ekstrakte  
Laka *downstream* separacija  
**Nedostatak – slaba topljivost**  
**Nedostatak – visoka cijena**

# Ravnoteža plin-krutina

Topljivost u  
nadkritičnom  
fluidu

$$\hat{f}_2^{\text{SF}} = \hat{f}_2^{\text{S}} \quad \text{Jednadžba ravnoteže}$$

Otopina  $\hat{f}_2^{\text{SF}} = y_2^{\text{SF}} \hat{\varphi}_2^{\text{SF}} p$   $\hat{f}_2^{\text{S}} = f_2^{\text{S}}$  Čista krutina

Topljivost krutine u plinu

$$y_2^{\text{SF}} = \frac{1}{\hat{\varphi}_2^{\text{SF}}} \cdot \frac{f_2^{\text{S}}}{p}$$

$$f_2^{\text{S}} = \varphi_2^\bullet p_2^\bullet \exp \left[ \frac{v_2^{\text{S}} (p - p_2^\bullet)}{RT} \right] \quad \text{Fugacitivnost čiste krutine}$$

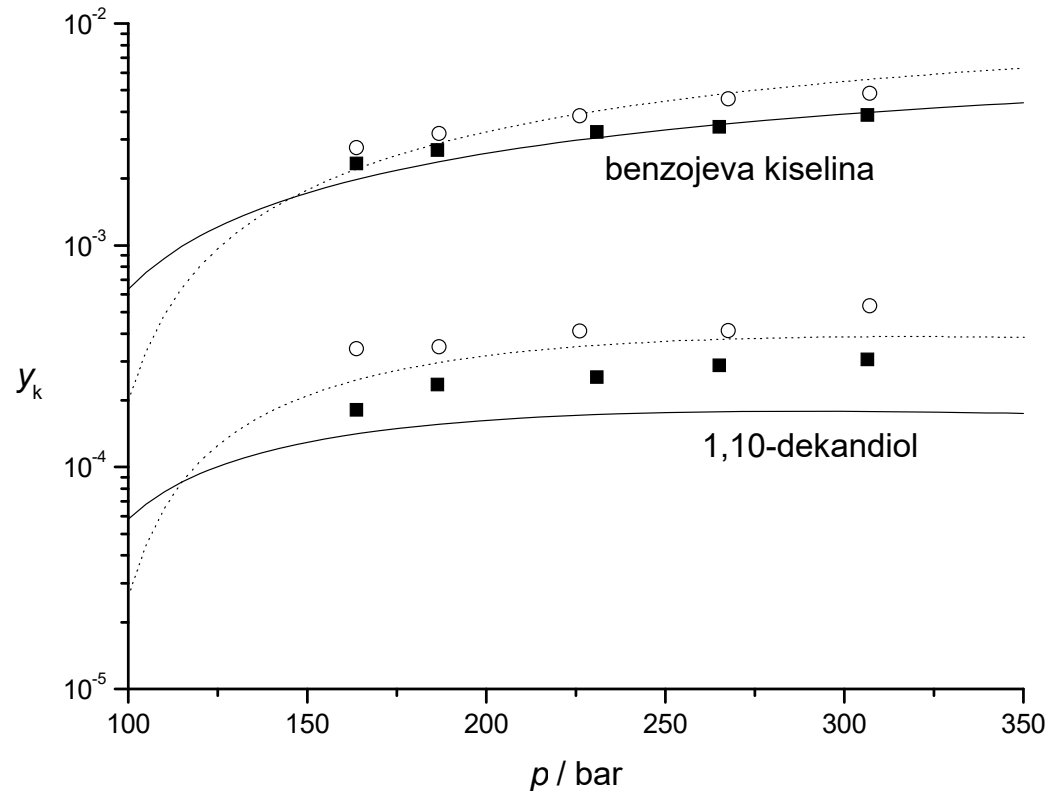
Topljivost krutine u plinu

$$y_2^{\text{SF}} = \frac{p_2^\bullet}{\hat{\varphi}_2^{\text{SF},\infty} p} \exp \left[ \frac{p v_2^{\text{S}}}{RT} \right]$$

$$y_2^{\text{SF}} = \frac{\varphi_2^\bullet p_2^\bullet}{\hat{\varphi}_2^{\text{SF}} p} \exp \left[ \frac{v_2^{\text{S}} (p - p_2^\bullet)}{RT} \right]$$

Pojednostavljenje

# Ravnoteža plin-krutina



$\text{CO}_2(1) - \text{benzojeva kiselina}(2) - 1,10\text{-dekandiol}(3)$

M. Mukhopadhyay i G. V. Raghuram Rao – pravila miješanja

E. H. Chimovitz i K. J. Pennisi – podaci